

АСТРОНОМИЯ

УДК 521.13

О СХОДИМОСТИ РАЗЛОЖЕНИЯ ПЕРТУРБАЦИОННОЙ ФУНКЦИИ В ЗАДАЧЕ ТРЕХ ТЕЛ ДЛЯ ЛИНДБЛАДОВСКИХ РЕЗОНАНСОВ В СЛУЧАЕ БОЛЬШИХ ЭКСЦЕНТРИСИТЕТОВ

И. А. Герасимов, Б. Р. Мушаилов

(ГАИШ)

Проведено обоснование специального разложения пертурбационной функции в задаче трех тел для орбитальных резонансов в случае больших эксцентриситетов. Данное разложение может быть использовано для построения аналитического решения, позволяющего интерпретировать орбитальную эволюцию астероидов и комет.

Введение

В работах [1–4] с использованием асимптотического метода Цейпеля в предположении малости эксцентриситетов и наклонения орбит были получены и исследованы аналитические решения задачи трех тел при резонансах первого порядка, которые позволяют интерпретировать эволюцию всех элементов орбит гравитирующих тел. Однако условие малости эксцентриситетов и наклонений орбит, строго говоря, не выполняется для ряда малых тел Солнечной системы, таких, как астероиды, находящиеся в орбитальной соизмеримости с Юпитером (некоторые представители групп Гекубы — соизмеримость 2/1, Гильды (3/2), Туле (4/3) и др.), либрационные астероиды, связанные соизмеримостью с Марсом (внутренняя часть пояса астероидов), спутниковая система Титан–Гиперон (соизмеримость 4/3), кометы, связанные линдбладовскими резонансами с Юпитером (Темпеля–Свифта, Брукса 1, Триттона (2/1), Петерса–Хартли (3/2), Герельса 1, Дю Туа (4/5)), а также многочисленные занептунные объекты пояса Койпера, банка Хиллса и облака Оорта.

В случае больших эксцентриситетов $e \leq 1$ и наклонения орбит гравитирующих тел в классическом разложении Ньюкома [5] пертурбационной функции с целью получения аналитического решения ограничение лишь первыми членами разложения становится уже неправомерным, и поэтому, когда эксцентриситеты не являются малыми величинами (для сильно вытянутых орбит), следует проводить специальное разложение возмущающей функции.

Возмущающая функция задачи трех тел с точностью $O[\mu^2]$ имеет вид [4]

$$\begin{aligned} R &= \mu' (R_1 + R_2), \quad \mu' = \alpha_1 \alpha_2 \mu, \\ R_1 &= 1/\Delta, \quad R_2 = -r_1 \cos H / r_2^2, \\ \Delta^2 &= r_1^2 + r_2^2 - 2r_1 r_2 \cos H, \end{aligned} \tag{1}$$

$\cos H = \cos(w_1 - w_2) - 2 \sin^2(\Delta i/2) \sin w_1 \sin w_2$,
где μ — малый параметр; α_1, α_2 — некоторые отличные от нуля постоянные; r_j и w_j — радиус-век-

торы в системе координат, совмещенной с центром масс центрального тела P_0 , и истинные долготы, отсчитываемые от общего узла, тел P_j ($j = 1, 2$) соответственно; Δi — взаимный наклон оскулирующих орбит тел P_1 и P_2 ; гравитационная постоянная при соответствующем выборе единицы времени принята за единицу.

Будем далее в общем случае рассматривать пертурбационную функцию (1) относительно переменных $k_j, h_j, \bar{\sigma} = \sin^2(\Delta i/2)$, где

$$k_j = e_j \cos S_j, \quad h_j = e_j \sin S_j, \tag{2}$$

а S_j — аномалия Делоне — медленная переменная, e_j — эксцентриситет орбиты тела P_j ($j = 1, 2$). Разложение в ряд Тейлора возмущающей функции R в окрестности точки $(k_{j0}, h_{j0}, \bar{\sigma}_0) \in D$ ($j = 1, 2$), где D — область регулярности возмущающей функции, следует осуществлять в несколько этапов. Сначала необходимо фиксировать k_2 ($k_2 = k_{20}$), h_2 ($h_2 = h_{20}$), т. е. e_{20}, S_{20} , а также $\bar{\sigma}$ ($\bar{\sigma} = \bar{\sigma}_0$) и провести формальное тейлоровское разложение функции R в окрестности (k_{10}, h_{10}) . Затем после соответствующих разложений коэффициентов при степенях $(k_1 - k_{10})^m (h_1 - h_{10})^n$ ($m, n = 0, 1, 2, \dots$) следует с учетом условия резонансности провести усреднение этих коэффициентов. И наконец, полученные результаты целесообразно распространить на область в окрестности k_{20}, h_{20} и $\bar{\sigma}_0$ ($k_2 \neq k_{20}, h_2 \neq h_{20}, \bar{\sigma} \neq \bar{\sigma}_0$).

Однако, согласно сказанному выше, необходимо на множестве D обосновать абсолютную сходимость указанного формального разложения R в действительном пространстве переменных $(k_j, h_j, \bar{\sigma})$ ($j = 1, 2$).

О сходимости возмущающей функции

Рассмотрим сначала случай плоского ограниченного эллиптического варианта задачи и, как будет видно из дальнейшего, не нарушая общности, исследуем внутренний вариант задачи, когда среднее движение n_2 возмущающего тела P_2 меньше среднего

движения n_1 пассивно гравитирующего P_1 . Тогда в (1) следует считать $\mu' = \mu$, $\Delta i = 0$ и $w_j = \omega_j + v_j$ ($j = 1, 2$), при этом ω_j и v_j — аргументыperiцентров и истинные аномалии параметров орбит тел P_j ($j = 1, 2$) соответственно.

На основании критерия Зундмана в рассматриваемом случае ($a_2 > a_1$) для области, в которой R не содержит особенности ($\Delta \neq 0$; $0 < r_1 < r_2$), имеем неравенства [6]

$$a_1 F_1(e_1) < a_2 F_2(e_2), \quad F_2(e_1) > 0, \quad (3)$$

где a_j — большие полуоси орбит тел P_j ($j = 1, 2$); $F_j(x)$ — вещественные функции, разложение которых в ряд Тейлора при $x < 1$ представимо в виде

$$\begin{aligned} F_1(x) &= 1 + 2x + x^2 + \frac{2}{3}x^3 + \dots, \\ F_2(x) &= 1 - 2x + x^2 - \frac{2}{3}x^3 + \dots. \end{aligned} \quad (4)$$

Неравенства (3) ограничивают допустимую область изменения эксцентриситета и большой полуоси (e_1, a_1) пассивно гравитирующего тела, поскольку в рамках ограниченного варианта задачи трех тел величины e_2 и a_2 фиксированы (второе неравенство (3) эквивалентно следующему: $e_1 < \bar{e}$, $\bar{e} = 0,66274\dots$). На рис. 1, *a* представлены указанные области, локализованные ниже приведенной кривой, когда возмущающим телом является Юпитер ($e_2 = 0,048$, $a_2 = 1$). При фиксированных величинах параметра a_1/a_2 , соответствующих точной орбитальной соизмеримости периодов пассивно гравитирующего тела P_1 с Юпитером (P_2) вида $m/(m+1)$ ($m = 1, 2, 3$), функциональные зависимости между максимально допустимыми эксцентриситетами e_j орбит P_j ($j = 1, 2$) имеют вид, показанный на рис. 1, *b* (неравенства (3) реализуются ниже приведенных кривых). Эти графики свидетельствуют о том, что существуют конечные области изменения эксцентриситета e_1 пассивно гравитирующего тела, соответствующие регулярному характеру изменения

(т. е. особые точки отсутствуют) возмущающей функции R .

В области D регулярности функции R , как нетрудно видеть, если перейти от функции $R_1 = 1/\Delta$ к $R^* = R_1^{-2}/2$, возмущающая функция имеет в окрестности точки $(k_{j0}, h_{j0}) \in D$ ($j = 1, 2$) непрерывные частные производные до любого конечного порядка N , поэтому она представима соответствующим рядом Тейлора с остаточным членом в форме Пеано, а следовательно, в малой окрестности (k_{j0}, h_{j0}) ($j = 1, 2$) ряд Тейлора сходится, т. е. остаточный член стремится к нулю при $N \rightarrow \infty$ [7].

Оценим теперь область абсолютной сходимости возмущающей функции R в исследуемом пространстве переменных (k_1, h_1, S_2) .

Из (1) в рассматриваемом случае в области D ($r_1 < r_2$) имеем [8]:

$$R = \frac{\mu}{r_2} \left[1 + \sum_{m=2}^{\infty} \left(\frac{r_1}{r_2} \right)^m \tilde{P}_m(\cos H) \right], \quad (5)$$

где \tilde{P}_m — полином Лежандра порядка m . Как известно, ряд (5) сходится абсолютно для всех $r_1 < r_2$. И если нам далее удастся определить область ($D^* \subset D$) абсолютной сходимости разложений $1/r_2$, r_1 и $\tilde{P}_m(\cos H)$ ($m = 2, 3, \dots$) в соответствующие ряды по степеням $(k_j - k_{j0})$, $(h_j - h_{j0})$ ($j = 1, 2$) (строго говоря, в рассматриваемом случае вместо k_2 , h_2 можно ограничиться лишь переменной S_2 , так как $e_2 = \text{const}$), то в этой области D^* будут сходиться по степеням $(k_j - k_{j0})$, $(h_j - h_{j0})$ ($j = 1, 2$) и ряды $(r_1/r_2)^2$, $(r_1/r_2)^2 \tilde{P}_2(\cos H)$, $(r_1/r_2)^3 \tilde{P}_3(\cos H)$, \dots — как произведение абсолютно сходящихся рядов, а также ряд (5) — как сумма абсолютно сходящихся рядов. Следовательно, абсолютно сходящийся ряд (5) тогда обеспечит в области D^* (которую следует определить) и абсолютно сходимость искомого ряда

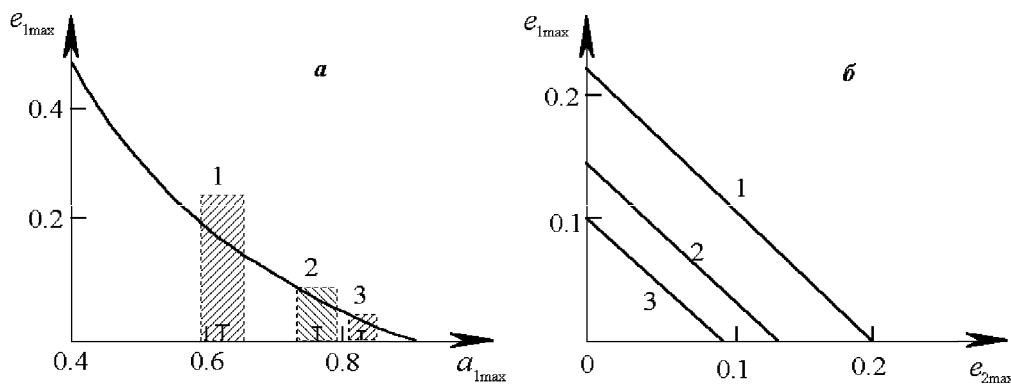


Рис. 1. Допустимые изменения элементов орбит гравитирующих тел в плоской ограниченной эллиптической задаче трех тел, при которых гарантируется регулярность возмущающей функции: *a* — случай, когда возмущающее тело — Юпитер, зоны 1, 2, 3 отвечают астероидам групп Гекубы, Гильды и Туле соответственно; *б* — диаграмма $e_{1\max} - e_{2\max}$, в которой в качестве параметра выступает отношение больших полуосей: $a_1/a_2 = 0,630$ (1); $0,763$ (2) и $0,825$ (3).

$$R(\mathbf{z}) = \sum_{m=0}^{\infty} \frac{1}{m!} \times \\ \times \left\{ \sum_{j=1}^2 \left[(k_j - k_{j0}) \frac{\partial}{\partial k_{j0}} + (h_j - h_{j0}) \frac{\partial}{\partial h_{j0}} \right] \right\}^m R, \\ \mathbf{z} = (k_j, h_j) \quad (j = 1, 2). \quad (6)$$

Определим сначала область абсолютной сходимости разложений r_j в соответствующие ряды по степеням $(k_j - k_{j0})$, $(h_j - h_{j0})$ ($j = 1, 2$). Считая, что пассивно гравитирующее тело P_1 движется по осязливающему эллипсу (а для ограниченного эллиптического варианта движение тела P_2 происходит по фиксированному эллипсу), можно записать

$$r_j = a_j (1 - e_j \cos E_j), \quad E_j - M_j - e_j f(E_j) = 0 \quad (7) \\ (j = 1, 2),$$

где E_j , M_j — эксцентрические и средние аномалии орбит тел P_j соответственно, $f(E_j) = \sin E_j$ — целая функция ($j = 1, 2$). Тогда, согласно формуле Лагранжа (в общем случае — формуле Бурмана—Лагранжа), ряд вида

$$\Phi(E_j) = \sum_{m=0}^{\infty} \frac{e_j^m}{m!} \frac{d^{m-1}}{dM_j^{m-1}} [\Phi'(M_j) f^m(M_j)], \quad (8)$$

где $\Phi(E_j)$ ($j = 1, 2$) есть произвольная заданная голоморфная (целая) функция, является абсолютно сходящимся для всех значений эксцентриксов e_j , удовлетворяющих условию [8, 9]

$$e_j < \bar{e}, \quad \bar{e} = 0,66274 \dots \quad (j = 1, 2). \quad (9)$$

Поскольку абсолютно сходящийся ряд допускает перестановку слагаемых, то, учитывая, что $e_j \equiv (e_j - e_{j0}) + e_{j0}$ ($j = 1, 2$), ряд (8), а следовательно, согласно (7), и разложение для r_j представляются при выполнении условия (9) абсолютно сходящимися рядами относительно $(e_j - e_{j0})$ вида

$$r_j/a_j = \sum_{m=0}^{\infty} (e_j - e_{j0})^m S_m(M_j) \quad (j = 1, 2), \quad (10)$$

в которых

$$S_m(M_j) = \sum_{n=m}^{\infty} \frac{n!}{(n-m)!m!} e_{j0}^{n-m} C_n(M_j), \\ C_0(M_j) = 1, \quad C_1(M_j) = -\cos M_j, \\ C_n(M_j) = \frac{1}{(n-1)!} \frac{d^{n-2}}{dM_j^{n-2}} [\sin^n M_j], \\ n = 2, 3, \dots \quad (j = 1, 2). \quad (11)$$

Так что абсолютная сходимость ряда (10) гарантируется для всех значений эксцентриксов e_j из интервалов $e_j - e_{j0} < \bar{e} - e_{j0}$, $0 \leq e_{j0} < 1$ ($j = 1, 2$).

Для определения полной области сходимости (7) по степеням эксцентриксов ($e_j - e_{j0}$) ($j = 1, 2$) представим уравнение Кеплера при $0 \leq e < 1$ в виде интеграла дифференциального уравнения

$$\frac{\partial E}{\partial e} = \frac{\sin E}{1 - e \cos E}. \quad (12)$$

(Здесь и ниже для упрощения записей введено обозначение $E = E_j$, $e = e_j$ ($j = 1, 2$)). Согласно теореме Коши о существовании голоморфного решения, уравнение (12) будет иметь голоморфный интеграл, который обращается в E_0 при $e = e_0$ внутри круга, не содержащего особых точек правой части уравнения (12). Особые точки (12) определим из уравнений

$$1 - e \cos E = 0, \quad E - M - e \sin E = 0 \quad (13)$$

при условии, что $e = u + iv$, $E = \bar{x} + i\bar{y}$ ($i^2 = -1$). Разделяя вещественные и мнимые части (13) для уравнения кривой, определяющей особые точки правой части (12), в параметрической форме получим

$$u^2 = \bar{y} (\cosh \bar{y} - \bar{y}), \quad v^2 = \bar{y} (\bar{y} - \tanh \bar{y}). \quad (14)$$

Кривая (14) представляет собой огибающую семейства окружностей с центром в точке e_0 (e_0 — вещественное число). Радиусы R_{e_0} этих окружностей и являются радиусами сходимости разложения E по степеням $(e - e_0)$. Величины R_{e_0} определяются из очевидного условия $R_{e_0}^2 = \min \{(u - e_0)^2 + v^2\}$, которое с учетом (14) преобразуем к виду

$$R_{e_0}^2 = e_0^2 + \min \left\{ 2\bar{y}/\sinh(2\bar{y}) - 2e_0 \sqrt{\bar{y}(\cosh \bar{y} - \bar{y})} \right\}.$$

Определяя экстремум по общим правилам, находим

$$R_{e_0} = (2y^*/\sinh(2y^*) - e_0^2 \cosh(2y^*))^{1/2}, \quad (15)$$

где y^* — положительный корень уравнения

$$\tilde{\Phi}(\bar{y}) = e_0^2, \quad \tilde{\Phi}(\bar{y}) = \bar{y} (\cosh \bar{y} - \bar{y}) \cosh^4 \bar{y}.$$

Зависимость $R_{e_0}(e_0)$, приведенная на рис. 2, показывает, что для всех $0 \leq e_0 < 1$ существует отличный от нуля радиус сходимости R_{e_0} .

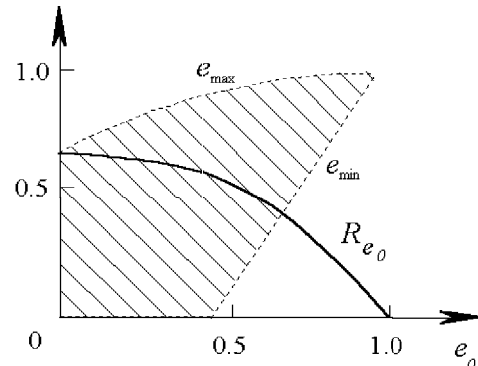


Рис. 2. Зависимость радиуса сходимости R_{e_0} тейлоровских разложений по степеням $(e - e_0)$ для координат эллиптического движения от величины эксцентрикса e_0 . Область сходимости, локализованная между $e_{\max} = R_{e_0} + e_0$ и $e_{\min} = e_0 - R_{e_0} \geq 0$, заштрихована

Непосредственный переход от эксцентрикитетов $(e_j - e_{j0})$ к переменным $(k_j - k_{j0})$, $(h_j - h_{j0})$ осуществляется в соответствии с (2) следующим образом:

$$e_j - e_{j0} = \sqrt{k_j^2 + h_j^2} - \sqrt{k_{j0}^2 + h_{j0}^2} \quad (j = 1, 2). \quad (16)$$

Предполагая $e_{j0} \neq 0$ (в противном случае искомое разложение сводится к классическому), из (16) получаем

$$\begin{aligned} e_j - e_{j0} &= \sqrt{k_{j0}^2 + h_{j0}^2} \times \\ &\times \left\{ (1 + \psi [(k_j - k_{j0}, h_j - h_{j0})])^{1/2} - 1 \right\} \quad (j = 1, 2), \\ \psi &= [2k_{j0}(k_j - k_{j0}) + (k_j - k_{j0})^2 + 2h_{j0}(h_j - h_{j0}) + \\ &+ (h_j - h_{j0})^2] / (k_{j0}^2 + h_{j0}^2). \end{aligned}$$

При $|\psi| < 1$, т. е. $0 < e_j < \sqrt{2}e_{j0}$, или

$$e_j - e_{j0} < (\sqrt{2} - 1)e_{j0} \quad (j = 1, 2), \quad (17)$$

правая часть (16) представляется абсолютно сходящимися по степеням $(k_j - k_{j0})$, $(h_j - h_{j0})$ рядами вида [7]

$$\begin{aligned} e_j - e_{j0} &= \frac{k_{j0}}{\sqrt{k_{j0}^2 + h_{j0}^2}} (k_j - k_{j0}) + \\ &+ \frac{h_{j0}}{\sqrt{k_{j0}^2 + h_{j0}^2}} (h_j - h_{j0}) + \dots \quad (j = 1, 2). \end{aligned} \quad (18)$$

Условие (17) при $e_{j0}^* = 0,6695\dots$ совпадает с (15). При $e_{j0} > e_{j0}^*$ неравенство (17) содержит в себе (15), в то время как при $0 < e_{j0} \leq e_{j0}^*$ ($j = 1, 2$) определяющим является условие (17).

Таким образом, при

$$0 < e_{j0} \leq e_{j0}^* \quad (19)$$

величины r_j/a_j ($j = 1, 2$) разлагаются в соответствующие абсолютно сходящиеся ряды по степеням $(k_j - k_{j0})$, $(h_j - h_{j0})$ для всех

$$e_j - e_{j0} < (\sqrt{2} - 1)e_{j0}. \quad (20)$$

При $e_{j0}^* < e_{j0} < 1$ область сходимости разложений r_j/a_j приведена на рис. 2. Однако искомая область D^* определяется указанными областями сходимости с учетом ограничений (3), (4), задающих область D регулярности возмущающей функции R , поскольку $D^* \subset D$.

Учитывая (7), согласно теореме Вейерштрасса, в области D для разложений обратной величины радиус-вектора тела P_2 получим

$$a_2/r_2 = \sum_{m=0}^{\infty} (e_2 - e_{20})^m \tilde{S}_m(M_2), \quad (21)$$

где $\tilde{S}_m(M_2)$ определяется правой частью выражения (11), в котором коэффициент C_n следует заменить на $\tilde{C}_n = \frac{1}{n!} \frac{d^n(\sin^n M_2)}{dM_2^n}$ ($n = 0, 1, 2, \dots$). Для зависимости (21) остаются справедливыми представление (18) и условия (19), (20).

В рассматриваемом случае плоского варианта задачи $H = v_1 - M_1 - (v_2 - M_2) + \lambda_1 - \lambda_2$, где λ_j — средние долготы тел P_j , уравнения центров $v_j - M_j$ ($j = 1, 2$), а также косинусы и синусы от этих аргументов разлагаются в абсолютно сходящиеся по степеням эксцентрикитетов ряды вида (10) и при этом $|\tilde{P}_m(\cos H)| \leq 1$ есть полином относительно $\cos H$ степени m [8]. Поэтому $\tilde{P}_m(\cos H)$ при условиях (19), (20) для любого конечного m представляется абсолютно сходящимся рядом по степеням $(k_j - k_{j0})$, $(h_j - h_{j0})$ ($j = 1, 2$).

Следовательно, в области $D^* \subset D$, определяемой условиями (19), (20), возмущающая функция (5) с учетом (3), (4) представима в окрестности точек (k_{j0}, h_{j0}) ($j = 1, 2$) абсолютно сходящимся рядом (6).

Для внешнего варианта ограниченной эллиптической задачи область D регулярности функции R , в отличие от (3), (4), будет определяться неравенствами вида

$$a_1 F_2(e_1) > a_2 F_1(e_2), \quad F_2(e_2) > 0 \quad (a_1 > a_2), \quad (22)$$

а вместо (5) будем иметь

$$R = \frac{\mu}{r_1} \left[1 + \sum_{m=2}^{\infty} (r_2/r_1)^m \tilde{P}_m(\cos H) \right].$$

Однако при этом, как легко видеть, рассуждения, аналогичные приведенным выше, показывают, что в области $D^* \subset D$, задаваемой условиями (19), (20) и (22), существует абсолютная сходимость ряда (6).

И наконец, не возникает никаких принципиальных затруднений и для обоснования абсолютной сходимости разложений возмущающей функции при переходе к неограниченному, а также к пространственному вариантам задачи. В последнем случае для определения области регулярности D можно воспользоваться критерием Сильвы вида [10]

$$\sin^2 \left(\frac{\Delta i}{2} \right) = \frac{[a_2 F_2(e_2) - a_1 F_1(e_1)]^2}{4a_1 a_2 F_3(e_1) F_3(e_2)}, \quad (23)$$

где $F_3(x) = \sqrt{(1+x)^2 + \operatorname{ch}^2 y (1+x^2)/2}$, $y = x \operatorname{ch} \bar{y}$, $a_2 > a_1$. Для астероидной задачи, когда возмущающим телом является Юпитер, на основании (23) построены зависимости $\sigma_{\max} = \sin(\Delta i_{\max}/2)$ от максимальных значений эксцентрикитетов $e_{1\max}$ орбиты пассивно гравитирующего тела P_1 для различных значений параметра a_1/a_2 (рис. 3).

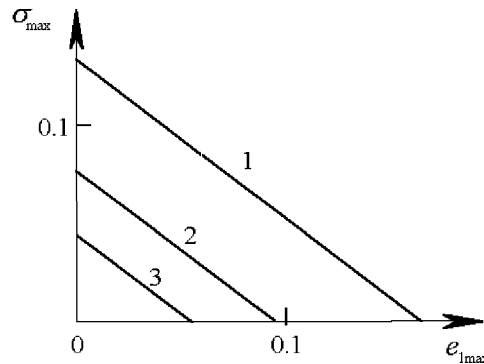


Рис. 3. Расчетные зависимости σ_{\max} от $e_{1\max}$, соответствующие случаю, когда величины больших полуосей a_1 отвечают точным орбитальным соизмеримостям астероидов групп Гекубы (1), Гильды (2), Туле (3)

Рассмотренное здесь разложение пертурбационной функции будет использовано нами в следующей работе при построении аналитического решения, интерпретирующего орбитальную эволюцию астероидов и комет.

Работа выполнена при поддержке РФФИ (грант 00-02-17744).

Литература

1. Герасимов И.А., Мушаилов Б.Р. // Астрон. вестн. 1994. **28**, № 4–5. С. 178.
2. Герасимов И.А., Мушаилов Б.Р., Ракитина Н.В. // Астрон. вестн. 1994. **28**, № 4–5. С. 186.
3. Герасимов И.А., Мушаилов Б.Р. // Астрон. вестн. 1995. **29**, № 1. С. 58; 67.
4. Мушаилов Б.Р. // Астрон. вестн. 1995. **29**, № 1. С. 47; № 4. С. 375.
5. Newcomb S. // Astron. Papers. Washington. 1895. V. 5. Pt. 1.
6. Sundman K. Über die Störungen der kleinen Planeten. Akad. Abhandl., K. Alexanders Univers. Helsingfors, 1901.
7. Никольский С.М. Курс математического анализа. Т. 1. М.: Наука, 1973.
8. Дубошин Г.Н. Небесная механика. Основные задачи и методы. М.: Наука, 1975.
9. Лаврентьев М.А., Шабат Б.В. Методы теории функций комплексного переменного. М.: Физматгиз, 1972.
10. Silva G. // Bull. Astron. 1909. **26**. P. 49.

Поступила в редакцию
12.05.00